

## دراسة جيوكهربائية استطلاعية لمنخفض الموصل

زهير داؤد الشيخ  
قسم علوم الارض، كلية العلوم  
جامعة بغداد

مرwan متعب أحمد  
قسم علوم الارض، كلية العلوم  
جامعة الموصل

### المخلص

يقع اقليم الموصل الذي يمثل منخفض تضاريسي بين تراكيب الطيات المحدبة المرتفعة لبعشيقية وعين الصفرة في الشمال الشرقي وعطشان ونويقت الى الجنوب الغربي . ويغطي هذا المنخفض ( 30 كم عرضاً ) الترسبات الطموية لنهر دجلة ورافده الخوصر مع بقية الترسبات الرباعية الأخرى مع انكشاف تكاوين انجانا والفتحة قرب الطيات المحدبة .

تهدف الدراسة الحالية الى الاستدلال عن وجود أية تموجات وفوالق تحت سطحية . اختيرت ثمانية محطات جسية كهربائية على طول مسار يتجه شمال شرق - جنوب غرب عبر المنخفض أعلاه حيث استخدم ترتيب شلمبرجر المتناظر والمتسامت وبمسافة قطبية قصوى للتيار الكهربائي 1500 متر . تم اجراء مضاهاة مستمرة مع نتائج الجس اللثولوجي للآبار القريبة وبينت نتائج التفسير أن المسار الاستطلاعي يمر عبر التواءات تحت سطحية ضحلة عريضة واقعة شرق نهر دجلة . كما أوضحت النتائج أن نهر الخوصر يمثل عنصراً تكتونياً مهماً حيث تمتلك المنطقة الشرقية منه مقاومة كهربائية قليلة بينما تكون تلك القيم عالية الى الغرب منه والتي يمكن أن تعكس تغييراً لثولوجياً واضحاً بين المنطقتين .

## A reconnaissance geoelectric traverse in the Mosul depression

Marwan M. Ahmed

Geology Department, Science College  
Mosul University

Zuhair D. Al-Shaikh

Geology Department, Science College  
Baghdad University

### ABSTRACT

The Mosul depression is a topographic low which lies between the elevated anticlinal structures of Bashiqa and Ain Safra to the northeast and Atshana and Nuwaigit to the southwest. This depression, some 30 km wide, is floored by the alluvial deposits of river Tigris and its tributary Khoser and other Quaternary deposits.

The present study is aimed at detecting the presence of any subsurface undulations or faulting associated with the depression. Eight points of depth electric sounding are put over a line that trends NE - SW across the depression.

Measurements were made using collinear symmetrical Schlumberger electrode arrangement with a maximum AB distance of 1500 m. Continuous correlation of the results with the lithological logs of nearby wells are made.

The results indicate that the traverse crosses a broad shallow subsurface undulations to the east of the Tigris. The results also show that the course of the river Khoser lies over an important, vertical tectonic plane (fault) which separates lithologies of low resistivities to the east of the river from those of high resistivities to its west.

### المقدمة

شهد اقليم الموصل الواقع في انخفاض تضاريسي يخترقه نهرا دجلة والخور، اقدم الحضارات الانسانية. فلقد نشأت وازدهرت صرح العاصمتين الاشورية الثالثة (نينوى) والرابعة (خرسباد) في القرون السابع والسادس قبل الميلاد فوق ترسبات العصر الرباعي النهرية والطموية التي تتميز تربتها السطحية بالخصوبة والتجدد الدائم بفعل عشرات الوديان التي تنقل مياهها الموسمية المواد الفتاتية من الجبال المحيطة والتي تضم مقالع الصخور الجيرية والجبسية والطينية ايضا، اذ تم استخدام موادها وصخورها، وما زالت في اقامة المنشآت وتصنيع مواد البناء الحديثة على وفق التطورات الصناعية.

ان تنوع السحنات الصخرية الرسوبية ووجود عدد من التراكيب الخطية (Lineaments) واختلاف اتجاهات الوديان الرئيسية في منطقة الموصل وتفاوت اتجاه محاور الطيات المحدبة المحيطة بها، كل ذلك يعكس اهمية استخدام الطرق الجيوفيزيائية في استكمال معلومات الابار المحفورة للمساهمة بدراسة الوضع الجيولوجي تحت السطحي والتراكيب التكتونية الواقعة تحت ترسبات العصر الرباعي.

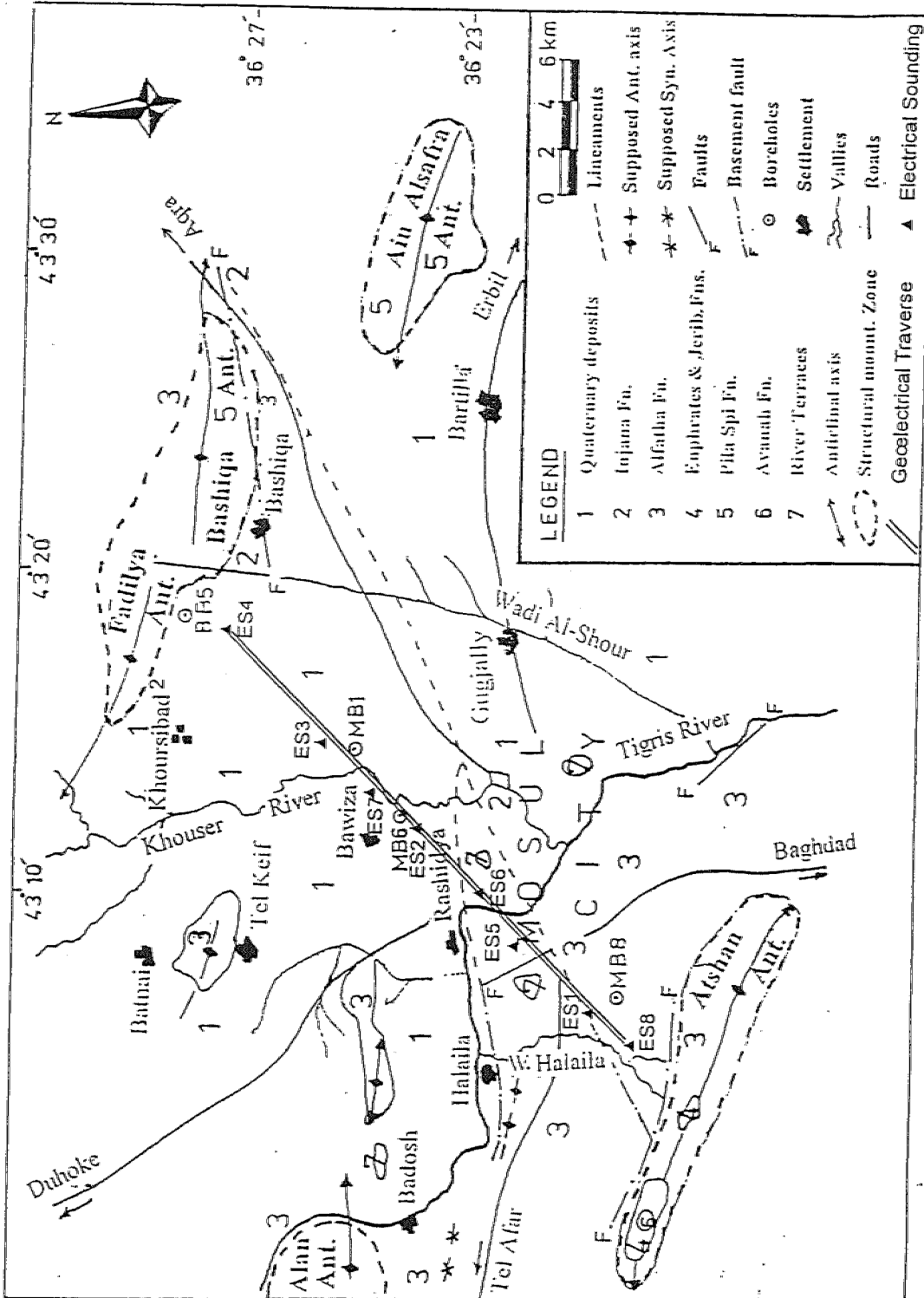
لقد تم اختيار المسح المقاومي الارضي (Georesistivity Survey) لترتيب شلمبرجر المتناظر والمتسامت (Symmetrical and Collinear Schlumberger array) في الجس الكهربائي (Electrical Sounding; ES) لدراسة تمهيدية استطلاعية للمنطقة بوصفه احد الاساليب الشائعة والرخيصة والسريعة في الدراسات الجيولوجية والهيدروجيولوجية والتحريات الموقعية. وتحاط منطقة التحري بعدد من الطيات الواطئة. ففي شرق المنطقة تقع طيات الفاضلية وبعشيقية وعين الصفرة، اما الى الغرب فتقع طيات علان وعطشان ونويقت، بينما تشكل الاجزاء الشمالية والجنوبية مساحات متموجة ذات تضاريس واطئة تتخلها وديان ضحلة وطويلة تتجه نحو نهر دجلة وبذلك يمكن عد المنطقة المدروسة انخفاضاً طوبوغرافياً. يبلغ ارتفاع اقل نقطة في المنخفض 215 متراً فوق مستوى سطح البحر على السهل الفيضي لنهر دجلة بينما يصل ارتفاع اعلى نقطة منه الى 330 متراً فوق مستوى سطح البحر على الحافتين الشرقية والغربية وبذلك يتشكل المنخفض الواسع الذي يتوسطه نهر دجلة.

تقع المنطقة تكتونياً على الرصيف غير المستقر ضمن نطاق اقدام التلال في الحزام الانتقالي بين النطاقين الثانويين حمريين-مكحول وجمجمال-بطمة على وفق تقسيم (Buday & Jassim, 1987). تمتاز التراكيب المحيطة بمنطقة الدراسة بالترتيب المتبادل (en echelon) وتغير اتجاه محاور الطيات بل احياناً يتغير اتجاه محور الطية نفسها (swinging of fold axis) مما يعكس وجود فولق كتلية عميقة ذات ازاحة مضرية (Numan, 1984).

تمتاز منطقة الموصل ببساطة تركيبها وانعدام التراكيب المعقدة ، فهي لا تعدو عن كونها تعبيراً سطحياً لعدد من الفوالق العميقة التي اثرت في توزيع الوحدات الطباقية وحدوث عمليات رفع لبعضها وتعريتها وانكشاف الطبقات التحتية وكذلك اثرت هذه الفوالق في مجرى نهر دجلة حيث تم تحديد خمسة فوالق حسب اديب (1988)، وعدت المسؤولة عن بعض المظاهر التضاريسية وخلق بيئات متنوعة ورفع الجانب الايمن من نهر دجلة وتعرية القسم الاكبر من تكوين الفتحة. كما بينت الدراسة التي قام بها الجبوري (1988) للجانب الايسر من نهر دجلة عدم وضوح أي تركيب جيولوجي وان مضارب الطبقات في الاجزاء الشمالية الغربية (مرتفع شمال الرشيدية) من شرق دجلة كانت باتجاه شرق-غرب (محور طوروس) ، اما الاجزاء الجنوبية الشرقية من شرق دجلة فتكون باتجاه شمال غرب-جنوب شرق (محور زاجروس) . ان التحليل المورفوتكتوني الذي قام به الجبر (1997) اوضح ان جميع التراكيب المحيطة بمنطقة الموصل تعود الى اتجاه كتلة كركوك ويبدأ ظهور تأثير كتلة الموصل الى الشمال والغرب من المنطقة ممثلاً بطيات علان وسنجان وعين زالة ورفان كما اكد وجود الظواهر الخطية التكتونية التي اشار اليها اديب (1988). ان اهم العناصر الخطية المحيطة بمنطقة الدراسة تتمثل بتركيب خطي يمتد بموازاة طيبي بعشيقية والفاضلية في منطقة اللحامهما على وفق العزاوي (1982).

طباقياً ان التعاقبات المنكشفة في المنطقة ابتداءً من الاقدم هي تكوين البلاسي الذي يمثل الهيكل الوسطي للطيات الشرقية المحيطة بالمنطقة ويبلغ سمكه 180 متراً ويقع تحته تكوين الجركس الطيني الطفلي بينما يشكل تكوين الفرات الجيري الذي يمثل لب طيات عطشان وعلان ونويقت وبسمك 138 متراً و 280 متراً على وفق معطيات بئري عطشان وعلان المحفورين في لب الطيتين. واعتماداً على البئر MB8 (الشكل 1) يتبين ان سمك العضو السفلي لتكوين الفتحة غرب نهر دجلة يصل الى 150 متراً في حين ان مقارنة التصنيف اعلاه مع البئر MB6 والذي يوضح مجسه الليثولوجي وجود الوحدات الصخرية للعضو العلوي للتكوين يبلغ سمكها 40 متراً ، بينما يصل سمك العضو السفلي الى 160 متراً (الشكل 1). لقد تبين من خلال اجراء المضاهاة بين المجس الليثولوجي للبئر BB5 الواقع شرق قرية الفاضلية مع البئر MB1 الواقع شرق منطقة الشلالات والبئر MB6 قرب قرية السادة، ان العضو السفلي يشكل سمكا قدره 170 متراً تقريباً بينما يبلغ سمك العضو العلوي 50 متراً. اما الآبار المحفورة في سهل الرشيدية الفيضي، فقد بينت عدم امكانية تحديد سمك تكوين الفتحة ويعزى ذلك الى عدم وجود بئر يخترق العضو السفلي كما يلاحظ تعرية صخور العضو العلوي وترسيب المواد الفيضية النهرية بدلاً منه.

يتضح مما تقدم ان سمك تكوين الفتحة يتغاير بين 100 الى 230 متراً وتظهر منكشفات سطح التماس السفلي له في الحافات الشرقية والغربية للمنطقة المدروسة والتي تتمثل بطيات الفاضلية وبعشيقية وعين الصفرة وعطشان ونويقت. كما اشار ابراهيم (1985) الى ان التكوين قد ترسب بسماكات مختلفة بين منطقة واخرى ضمن الحوض الترسبي نفسه وذلك بفعل نشاط الكتل الثانوية وحركتها المستمرة، لذلك فان ترسيب متبخرات البحيرات الشاطئية تختلف في طبيعتها الصخرية والسمكية.



الشكل ( 1 ) : الخارطة الجيولوجية والتكتونية لمنطقة الدراسة وما حولها  
 محورة عن: محيي الدين وجماعته (1977), (Mohi Ad-Din et al., 1977), المسح الجيولوجي (1995), (Geo. Surv., 1995),  
 الجبر (1997).

تتكشف ترسبات تكوين الانجانا على الجناح الجنوبي لطبتي بعشيقية والفاضلية وتتألف مكوناته من تعاقب طبقات الرمل والغرين والترسبات الطينية وتمثل بيئة التكوين مرحلة انتقالية بين البيئة الشاطئية والمولاسية القارية. وعد بودي وآخرون (Buday et. al.,1980) ان الحوض الرئيس لتكوين الانجانا يقع في الجزء الجنوبي الشرقي من مدينة الموصل. وتتفقد ترسبات التكوين غرب وشمال منطقة الدراسة بينما تتطمر تحت السهل الواقع بين الحافة الشرقية لحوضي نهر الخوصر ودجلة من جهة ، لطبتي بعشيقية والفاضلية من جهة اخرى . ويتراوح سمك الانجانا من 30 مترا الى اكثر من 220 مترا من خلال معطيات الابار المحفورة في المنطقة والتي تشير الى تساؤل سمك التكوين باتجاه الشمال الغربي حيث تتكشف صخور الفتحة غرب نهر الخوصر ودجلة بينما تزداد سماكتها باتجاه شرقهما. لقد اعطى الجبوري (1988) وصفا لمقطع منكشف بسمك 38 مترا في الحافة الشرقية لالتواء الخوصر عند المدخل الشمالي الشرقي من مدينة الموصل (حي البريد). ان عدم احتواء غرب وشمال نهر دجلة لترسبات هذا التكوين في منطقة الدراسة ربما يعزى الى عمليات التجوية والتعرية بسبب النشاط التكتوني الذي ادى الى رفع الجانب الايمن من مدينة الموصل حسب اديب (1988).

تغطي ترسبات العصر الرباعي معظم المنطقة حيث تتكون من نوعين من الرسوبيات وهي ترسبات الطمي الذي يشكل الطين وشظايا الحجر الجيري معظم مكوناتها مع تكون المراوح الفيضية (Alluvial fans) احيانا قرب الجبال والتي تتألف من شظايا الصخور الكلسية لتكوين البلاسي مع كميات من الاطيان. اضافة الى ذلك تشغل الترسبات النهرية حوضي نهر الخوصر ودجلة ومناطق التقاء الاخير مع بعض الوديان الرئيسية مثل وديان حليلة وخوجة عمر والشور. وتتألف موادها من الحصى والرمل والغرين والطين حيث تكون مصدرها من جبال تركيا المنبع الرئيس لنهر دجلة او من الجبال المحيطة.

استنتج الجبر (1997) ان الموصل تقع على طية مقعرة ذات سعة واطئة وتركيبية بسيطة وان ضفتي نهر دجلة قد خضعت للتأثيرات التكتونية نفسها مع احتفاظ كل ضفة بخصوصيتها التركيبية والطباقية. كما نفذ الشيخ وبكر (Al-Shaikh & Baker,1973) مسحا جديبا على طول امتداد نهر دجلة وعبر ضفتيه وفسر الشذوذ الناتج على انه يعكس تغييرا كثافيا يسببه وجود فائق اعتيادي يتجه مع مسار نهر دجلة وممتدا الى منطقة حمام العليل.

#### المسوحات الحقلية والاختبارات المنفذة:

تم اتخاذ الاحتياطات اللازمة لتنفيذ اجراءات العمل الحقلي في الدراسة الحالية بشكل ناجح ومن ضمن ذلك تحاشي الاخطاء الفنية التي تشمل الفحص المستمر لسلامة اسلاك التيار (بكرتين بطول 1500 مترا) لان أي تسرب كهربائي يؤدي إلى تغيير نظرية القياس وبالتالي استحالة ايجاد النموذج الرياضي الصحيح، كذلك اخذت الاحتياطات لضمان عدم التداخل بين اسلاك الجهد والتيار لتجنب الحث الكهرومغناطيسي. كما استخدم شريطين للقياس (Tapelines) طول كل منهما 100 مترا مما ادى الى دقة

ممتازة في تقدير قيم العامل الهندسي، وفضلاً عن ما تقدم فإن الدقة في اختيار اتجاه النشر وضبطه كان لهما الأثر الكبير في إيجاد النتائج المتوخاة. وتمت المراقبة المستمرة خلال العمل اليومي التفصيلي لجودة شحن البطارية (المدى المناسب 12.5-15 فولت). وقد تم اختيار الموقع المناسب لتثبيت أقطاب الجهد بعيداً عن مناطق عدم التجانس مثل الطرق والخنادق والأتانيب المعدنية والسيارات وأبراج الضغط العالي والابار بانواعها وذلك للحصول على دقة جيدة للقراءات المقاسة. إن تشوه انماط التيار قرب أقطاب الجهد يؤدي إلى تغير جدي وخطير في القياسات في حين أن تأثير عدم التجانس (Hetrogeneity) على أقطاب التيار يعد أقل إيذاءً لأن المجال المقاس يكون غير مشوه حسب كوفويد (Koefoed, 1979). وقد تم التأكد من الرطوبة المعتدلة للتربة أثناء أخذ قياسات الجس العمقي مما أدى إلى استخدام شدة تيار كهربائي مناسب طوال فترة العمل الحقلية مقداره 20 ملي أمبير.

أن تنوع السحنات الصخرية جانبياً وتفاوت الوحدات الجيومورفولوجية واختلاف مضارب الفوالق المقترحة في الدراسات السابقة وتغير اتجاه محاور الطيات المحيطة بمنطقة الدراسة مع وجود الظواهر الخطية (Lineaments) للمستتبطة من الصور الفضائية كل ذلك جعل من الضروري القيام بثلاثة مسوحات اختبارية يستهدف كل منها جملة من الاعتبارات والفوائد لاتمام التنفيذ الناجح للأهداف المخططة والمتوخاة في البحوث المستقبلية لمنطقة الموصل.

### 1. اختبار التجانس الكهربائي الجانبي وتمائل الخواص

#### Lateral Electric Homogeneity and Isotropy

تفترض نظرية تفسير جس المقاومة العمقي التجانس الكهربائي وتمائل الخواص بالاتجاهات المختلفة للطبقات الأفقية. ولتدقيق ذلك يتم عادة تطبيق أساليب التحري عن تلك التغيرات الأفقية باستخدام أسلوب النشر المتعامد أحدهما مواز لخط المضرب والآخر عمودي عليه. ولتقييم التجانس الكهربائي للتطبيق الأفقي جانبياً تم تقدير معيار الانحراف (Deviation Criterion; D.C.) حسب كوفويد (koefoed,1979). هذا الانحراف يعمل على مقارنة قيم المقاومة الظاهرية المستحصلة من النشر الموازي لميل الطبقات  $\rho_a^d$  مع تلك المقاسة باتجاه خط المضرب  $\rho_a^s$ . ويعبر مقدار الانحراف عن نوعية جودة التطابق والتي يفضل أن لا تتجاوز 2%:

$$D.C. = \left( \frac{1}{N} \right) \sum_{i=1}^N \left[ \frac{((\rho_a^d)_i - (\rho_a^s)_i)}{(\rho_a^s)_i} \right]^2$$

تم اختيار ثلاث محطات جس كهربائي (Electrical Sounding) وهي ES2، ES3 و ES4 كما في (الشكل 1). وذلك لدراسة مقدار تأثير القراءات بفعل عوامل عدم التجانس الطويلة والمحدودة (Local & Elongated Inhomogeneities) والمظاهر التكتونية كالفواصل والفوالق الصغيرة وميل الطبقات. أخذت القياسات في المناطق التي تغطيها ترسبات العصر الرباعي وما يليها من طبقات غير معروفة الميل.

وإستخدام ترتيب شلمبرجر المتناظر والمتسامت بنشر مواز لمحور الطيات المحدبة وبنشر آخر باتجاه عمودي عليه.

وقد وسعت المسافة الفاصلة بين أقطاب التيار (Current Electrode Spacing; S) لغاية 1500 مترا وتم تغيير فاصلة أقطاب القياس (Measuring Electrode Interval; L) لمحطة الجس ES2 الواقعة في الركن الشمالي الشرقي لحدود مدينة الموصل عند قيم (S/2) 7، 10، 22، 45، 70، 100، 200 للاتجاهين المتعامدين وحُسب المعيار الانحرافي بتطبيق المعادلة أعلاه فوجد انه يساوي 0.6%. ان ذلك يؤكد ضالة مسيبيات ثلوث القياسات بسبب تأثير ميل الطبقات والتغير السحاني الجانبي المحدود في منطقة الجس ES2 (جدول 1).

وقد اختيرت نقطة الجس ES3 شرق منطقة الشلالات في سهل بعشيقه-الفاضلية لدراسة التجانس ثانية وبلغت أقصى فاصلة بين أقطاب التيار 1500 مترا ووسعت أقطاب القياس عند الفواصل (S/2) 7، 30، 60، 150 وتم حساب المعيار الانحرافي فوجد انه يساوي 2% (جدول 1) مما يعكس الانسجام المعقول بين قيم المقاومة الظاهرية بالاتجاهين المتعامدين ايضا كما يدل على عدم وجود تغير جدي للمكونات الصخرية جانبياً من الناحية التكتونية والترسيبية المحدودة. اما محطة الجس ES4 فتقع غرب مدينة بعشيقه وقد اختيرت في هذا الموقع نظراً لوقوعها قرب جناحي طيبي بعشيقه والفاضلية مع احتمالية تواجد لكوام من شظايا الحجر الجيري المترسب في السهل الطموي. وقد تم تبديل فاصلة القياس عند قيم (S/2) 6، 18، 60، 130، 250 ووجد ان مقدار معيار الانحراف يساوي 1% والذي يظهر بشكل جلي التجانس الكهربائي الجانبي المطلوب ضمن المنطقة المدروسة بالرغم من ان نقطة الجس الاخيرة تقع قرب مجموعة من فوالق مقترحة في دراسات سابقة وطبقات جناح طية بعشيقه التي تميل اكثر من 40 درجة والتي تغوص الى العمق لتغطيها الترسبات الحديثة.

ومن هذه الدراسة يتضح وجود التوافق الكهربائي الجانبي للانطقة المتطبقة ومحدودية تأثير عدم التجانس الجانبي القريب من السطح في منطقة شرق دجلة. وبالتالي امكانية تطبيق نظرية القياس على القياسات الجسية الحقلية ضمن الدقة المطلوبة.

## 2. تقييم تقنية شلمبرجر المتناظر والمتسامت في المنطقة

تعد القبرة التحليلية لقيم المقاومة الظاهرية لترتيب شلمبرجر دالة لمتغيرات الثوابت الطباقية ومعامل الانعكاس (Reflection Coefficient) للمستويات الفاصلة بين الانطقة الكهربائية وكذلك دالة لمتوسط المسافة الفعالة والنسبة الفاصلية (Eccentricity ratio). لذلك تم تقييم وفحص تلك القدرة في اجزاء متفرقة من المنطقة قيد البحث تتغير فيها السحنات الصخرية وطبيعة وكمية المياه الجوفية.





تم اخذ ست نقاط جس عمودية (ES1، ES2، ES3، ES4، ES5، ES6) في مناطق تغطيتها سحنات صخرية متنوعة بفاصلة قصوى للتيار بلغت 1500 مترا. وفسرت المعلومات المستحصلة بالطرق التقريبية (Partial curve matchings & Asymptotes) حسب كيلر و فرشنكت (Keller & Frischknecht, 1982). وتقع محطة الجس ES1 شرق طية عطشان قرب البئر MB8. ويمثل التعاقب الطباقى فيها العضو الاسفل من تكوين الفتحة الذي تتالف مكوناته الصخرية من تكرار متتال لصخور المتبخرات والكاربونيته والمارل مع تداخل الطين الصفائحي والطين. وقد تم تمييز سبعة انطقة كهربائية يعتمد تغاير قيم المقاومة الحقيقية فيها على نسبة احتوائها على المواد الطينية. فيلاحظ ان النطاقين الثاني والثالث يمثلان الطبقات الصلصاليه المتداخلة مع طبقة الحجر الجيري في حين يعكس النطاقين الرابع والخامس طبيعة الترسبات الجبسية والجيرية والتي يتخللها الطين الصفائحي اما النطاقان السادس والسابع فتمثل الصخور الكاربونيتيه المدلمته. وقد تم تثبيت محطة الجس ES2 بالقرب من البئر MB6 حيث يتكون التتابع الصخاري فيه من ترسبات العضو السفلي يليها صخور العضو العلوي من تكوين الفتحة وتقع فوقه رسوبيات العصر الرباعي. وقد امكن تمييز سبعة انطقة كهربائية تتغاير قيم ثوابتها على وفق طغيان او تناقص المواد الطينية فالانطقة الثاني والثالث والرابع تعكس وجود ترسبات طينية سميكة (50 مترا). اما النطاقان الخامس والسادس فتمثل المكونات الصخرية الجبسية والجيرية والقيرية (bituminous limestone) مع تداخل جزئي لرسوبيات المارل والطين الصفائحي، اما النطاق السابع فيمثل الصخور الكاربونيتيه المدلمته.

اما نقطتا الجس ES3 و ES4 الواقعتان في سهل بعشيفة-الفاضلية فقد تم تمييز سبعة انطقة كهربائية في الاولى وستة انطقة في الثانية وذلك من خلال المضاهاة مع المجس الليثولوجي في البئر MB1. وقد تبين ان قيم المقاومة لترسبات تكوين الفتحة تمثل تقريبا 20% من تلك المستحصلة في ES1 و ES2 بينما تتقارب قيم مقاومة صخور تكوين الانجانه في نقطتي الجس ES2 و ES3. لقد اخذت قياسات محطتي الجس ES5 و ES6 فوق السهل الفيضي على ضفتي نهر دجلة حيث امكن تمييز ستة انطقة للاولى وخمسة انطقة للثانية وتعكس الانطقة كافة ترسبات السهل الفيضي المتنوعة باستثناء النطاق قبل الاخير في كلا نقطتي الجس فانه يعكس صخور العضو السفلي من تكوين الفتحة. اما النطاق الاخير فيمثل الصخور الكاربونيتيه المدلمته.

واجمالا يمكن الاستنتاج بان لترتيب شلمبرجر المتناظر والمتسامت مقدره ممتازة في الكشف والتحري وتحديد السمك والمقاومية الحقيقية للطبقات المتعاقبة والحصول على معلومات جيولوجية معقولة (جدول 2) ومعمل عليها على الرغم من ان التفسير التقريبي الذي اتبع لم يعط النتائج الدقيقة وذلك لفقدانه ميزة التحكم بالشواهد الجيولوجية المتوافره مما يعني عدم الاخذ بنظر الاعتبار الغموض المكتنف بفعل مبدأى التكافؤ والكبت المعروفين (Equivalence & Suppression Rules)

Es.No.	Elev. A.S.L. (m)	$\rho_1$	$\rho_2$	$\rho_3$	$\rho_4$	$\rho_5$	$\rho_6$	$\rho_7$	$T_1$	$T_2$	$t_3$	$t_4$	$t_5$	$t_6$	Well No.
1.	310	65	161	26	47	60	182	200	1.6	3.2	15.5	52.0	56	42	MB8
2.	245	120	18	20	13	70	64	120	0.7	5.9	12.0	32.0	75	99	MB6
3.	270	80	6	41	14	8	18	54	0.6	1.7	4.5	37.8	72	148	MB2
4.	325	90	14	7	14	11	35	-	1.0	28	34.2	75.0	240	-	BB5
5.	215	22	14	42	27	48	68	105	1.5	6.0	3.0	8.8	70	95	
6.	225	3	6	196	64	140			1.1	4.0	7.0	166	-	-	

جدول (2) القدرة التحليلية لترتيب شلمبرجر المتناظر والمتسامت في منطقة الدراسة

### 3. امكانيات الجس العمقي في الاستدلال عن العناصر التكتونية والبيئات الرسوبية الجانبية

لقد استخدم أسلوب الجس العمقي في استكشاف البيئات الرسوبية والتكتونية تحت السطح في اماكن عديدة من العالم. فضمن المشروع D6 الجيوفيزيائي المنفذ في جنوب غرب مصر وشمال غرب السودان، قام بركهارت وجماعته (Burkhardt, et al., 1987 & 1990) بدراسة المظاهر التكتونية في ثلاث مناطق مختلفة. واستخدمت التقنيات الجيوفيزيائية كافة ومن خلالها تم تطوير جهاز مايكروحاسوبي لقياس المقاومة الارضية بمدى تردد محصور بين 0.1 - 10 هيرتز وذلك لتقرير الخواص الكهربية المعقدة لصخور المناطق المدروسة كما استهدفت الدراسة توضيح مدى المعلومات لعمق يزيد على 250 مترا بجعل الفاصلة القصوى لاقطاب التيار 2000 مترا. وقد وجد ان امكانية نجاح الطريقة الجيوكهربائية في حل المشاكل التكتونية مرتبطة بتوافر المعلومات الاخرى.

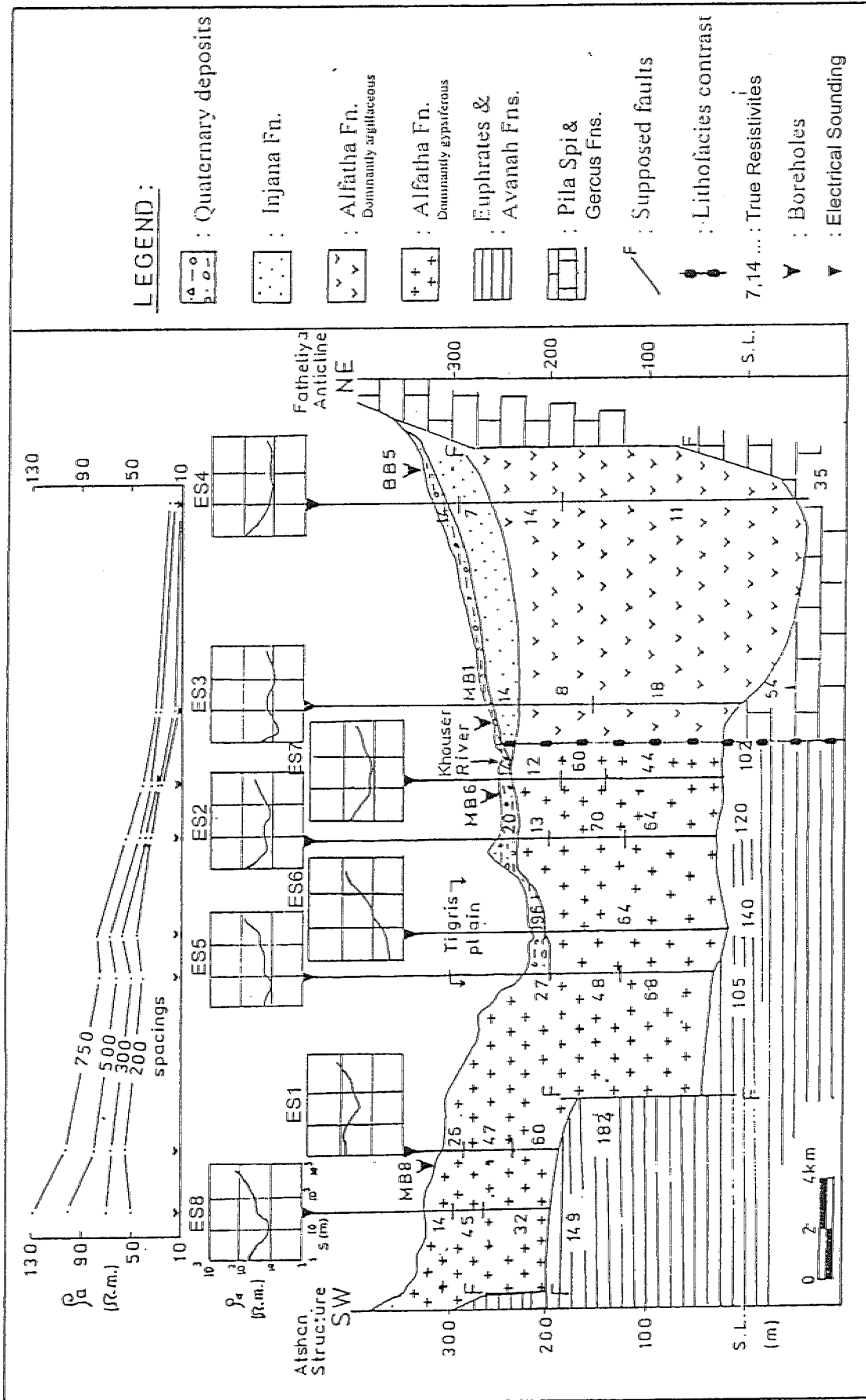
واجرى اوفرمرن (Overmeeren, 1989) دراسة جيوكهربائية باستخدام فاصلة قصوى قدرها 1500 مترا وحدد عبر مسار طوله 60 كم تقع عليه 25 محطة جس بترتيب شلمبرجر، مجموعة من الفوالق الاعتيادية والبيئات الترسيبية المختلفة (Different depositional environments) فضلاً عن التغيرات بملوحة المياه عبر المنطقة.

وفي الدراسة الحالية وللتأكد من وجود مجموعة من الصدوع والتراكيب الخطية (Lineaments) المقترحة. تم اختيار مسار ابتدائي (شكل 1) بطول 30 كم عمودي على محاور الطيات المحدبة المحيطة بمنطقة الدراسة وهي عطشان ونويقت، وبعشيقه والفاضلية وعين الصفرة ومقلوب. ثبتت ثمانى محطات جس كهربائي (ES1، ES2، ES3، ES4، ES5، ES6، ES7، ES8) بترتيب شلمبرجر حيث بلغت اقصى فاصلة بين اقطاب التيار 1500 مترا لنقاط الجس كافة وكان اتجاه النشر مواز لخط المضرب العام.

ولغرض التعرف على طبيعة التغيرات الجانبية عبر المقطع، تم رسم قيم المقاومة الظاهرية لفواصل (S/2) 750، 500، 300، 200 متراً لكل موقع نقطة جس عبر المسار الممتد من الجنوب الغربي الى الشمال الشرقي (شكل 2). لقد بين المقطع وجود تضاؤل وتقارب لقيم المقاومة الظاهرية شرق نهر الخوصر باتجاه الجناح الجنوبي الغربي لطية بعشيقية لتصل القيمة القصوى الى 22 اوم. متراً بينما على العكس من ذلك تزداد وتتباعد باتجاه الغرب من نهر الخوصر حيث تبلغ القيمة القصوى شرق طية عطشان الى 129 اوم. متراً.

لقد تم الاستعانة بمعلومات الابار المحفورة والمعلومات الجيولوجية لسمك وتعاقب التكاوين المنكشفة للطيات المجاورة حيث اجري مضاهاة لمحطات الجس ES8، ES1، ES5، ES6، ES2، ES7، ES3، ES4. وتبين ان قيم المقاومة الحقيقية لمعظم ترسبات العضو السفلي لتكوين الفتحة والواقع غرب نهر دجلة تتراوح بين 14 - 68 اوم. متر اعتماداً على نسب الصخور الفتاتية الطينية والكيميائية الجبسية والجيرية. كما يتضح ان تلك القيم قد تميزت بالارتفاع وتراوحت بين 105 الى 182 اوم. متر للصخور الكربونيتية المدلمته لتكوين الفرات (شكل 2). ويلاحظ ان هنالك تدرجاً انخفاضياً خفيفاً من الجنوب الغربي الى الشمال الشرقي مع احتمالية تواجد عدد من الفوالق اهمها الفالق الواقع قرب الجناح الشمالي الشرقي لطية عطشان، والفالق الواقع قرب حي اليرموك غرب مدينة الموصل والفالق الواقع قرب الجناح الجنوبي الغربي من طية بعشيقية.

ان مقارنة قيم المقاومة الحقيقية لترسبات صخور العضو السفلي من تكوين الفتحة لنقاط الجس ES1، ES8، ES5، ES6، ES2، ES7، ES4، ES3، ES1 التي تقع الى الشرق من نهر الخوصر تبين ان هنالك تغييراً ملحوظاً ربما يعزى الى تفاوت البيئة الصخرية الترسيبية مع عدم اتضاح تأثير طبيعة المياه الجوفية في تفاوت تلك القيم. فقد تبين ضآلة وجود المياه في البئرين MB6، MB1 والى عمق 250 متراً قرب محطتي الجس ES7، ES3، ES3 الواقعتين غرب وشرق نهر الخوصر على التوالي وبزيادة الحفر في البئر الاخير والى عمق 302 متراً ظهرت ترسبات الايوسين الكربونيتية المهشمة والحاوية على كميات غزيرة من المياه. كما ان العضو السفلي من ترسبات الفتحة يمتلك مقاومة حقيقية مقدارها 18 اوم. متر في نقطة الجس ES3 بينما تكون 11 اوم. متراً في نقطة الجس ES4 بالرغم من ان التوصيلية الكهربائية للمياه (electrical conductivity) المقاسة في البئر MB1 المجاور لنقطة الجس ES3 تساوي 2100 مايكروموز/سم وهي اكثر من ضعف التوصيلية المقاسة في البئر BB5 والتي تساوي 900 مايكروموز/سم قرب محطة الجس ES4. كذلك يلاحظ ان هنالك تقارباً كبيراً لقيم المقاومة الحقيقية في نقاط الجس الواقعة غرب الخوصر بالرغم من ضآلة وجود المياه في البئر MB6 في ترسبات الفتحة قرب محطة الجس ES7 وتوافر المياه مع وجود تراكيز عالية للاملاح فيها في البئر القريب من نقطتي الجس ES1، ES8 (2800 مايكروموز/سم في البئر MB8).



الشكل (2) مقطع جيوكهربائي استطلاعي مع منحنيات الجس الكهربائي عبر منطقة الدراسة

### الاستنتاجات

يتبين من الدراسة الحالية ما يأتي :

1. ان تباير المقاومة الحقيقية على جانبي حوض الخوصر لا يعبر عن المحتوى المائي وطبيعته وانما يعكس الاختلاف في طبيعة البيئات الصخرية السحنية لترسبات العضو السفلي من تكوين الفتحة وما يقع تحته اذ يلاحظ وجود عنصر تكتوني ذي أهمية بالغة يمكن أن يضيء بعداً جديداً حول جيوتكتونية المنطقة والذي يمثل نهر الخوصر.
2. إمكانية تطبيق نظرية القياس على القياسات الجسية الكهربية الحقلية ضمن الدقة المطلوبة في منطقة الموصل .
3. ان ترتيب شلمبرجر المتناظر والمتسامت ذو قدرة تحليلية ممتازة في تشخيص عدد من الأنطقة الكهربية التي تعكس ترسبات العصر الرباعي وتكوينات الانجاسة والفتحة والصخور الكاربونيتية.
4. خلصت الدراسة الى احتمالية وجود التواءات تركيبية تحت سطحية شرق نهر دجلة مع وجود فالق اعتيادي يقع غربه.

توصي الدراسة انشاء شبكة جسية كهربية عمقية (Depth Electrical Sounding Net) تغطي منخفض الموصل وذلك للتحري عن المظاهر التكتونية والتركيبية في المنطقة.

### المصادر العربية

- ابراهيم، ازاد عمر، 1985. دراسة تكتونوستراتغرافية للاجزاء الجنوبية من قطاع الطيات البسيطة في العراق. اطروحة ماجستير غير منشورة، كلية العلوم، جامعة الموصل، العراق، 121 صفحة.
- اديب، هدير غازي، 1988. تركيبية وطباقية مدينة الموصل-الجانب الايمن. رسالة ماجستير غير منشورة، كلية العلوم، جامعة الموصل، العراق، 152 صفحة.
- الجبر، فيصل خضر، 1997. جيومورفولوجية وجيوهندسية مدينة الموصل باستخدام تقنيات التحسس النائي. رسالة ماجستير غير منشورة، كلية العلوم، جامعة الموصل، العراق، 153 صفحة.
- الجبوري، منهل عبد السلام، 1988. جيولوجية منطقة الموصل شرق نهر دجلة. اطروحة ماجستير غير منشورة، كلية العلوم، جامعة الموصل، العراق، 158 صفحة.
- العاني، جاسم محمد، 1999. الاعتبارات النظرية والتطبيقية لتأثير الابعاد الهندسية لترتيبي شلمبرجر وثنائي القطب. رسالة دكتوراه غير منشورة، كلية العلوم، جامعة بغداد، 161 صفحة.
- العزاوي، نبيل قادر، 1982. دراسة مقارنة في الطراز التكتوني للطيات لثلاث مناطق في قطاع الطيات البسيطة في العراق. اطروحة ماجستير غير منشورة، كلية العلوم، جامعة الموصل، العراق، 107 صفحة.

المصادر الانكليزية

- Al-Shaikh, Z.D. & Baker, H.A., 1973. Gravity survey of the greater Mosul. J. Geol. Soc. Iraq., 6: 35-45.
- Buday, T., Kassab, I. I. M. & Jassim, S. Z., 1980. The regional geology of Iraq, "stratigraphy and paleogeography". Press of Univ. of Mosul, Iraq.
- Buday, T. & Jassim, S. Z., 1987. The regional geology of Iraq, Tectonism, Magmatism and Metamorphism. Geosurv., Baghdad, 2.
- Burkhardt, H., Brasse, H., Fiedler, R., Kalkbrenner, M., Radic, T. & Schulz, J., 1987. Geophysical investigations of local tectonic problems in SW Egypt and NW Sudan. Berliner geowiss. Abh.(A), 75(3):927-967.
- Burkhardt, H., Brasse, H., Fiedler, R., Haubmann, U., Kalkbrenner, M., Radic, T. & Schuster, K., 1990. The application of seismic, geoelectric & audiomagnetotelluric methods to tectonic and hydrogeological problems in SW Egypt and NW Sudan. Berliner geowiss. Abh.(A), 102(1):453-504.
- Geosurv, 1995. Geological Map of Iraq ,GM4.State Establishment of Geological Survey & Mining, Baghdad, Iraq.
- Keller, G. V., Frischknecht, F. C., 1982. Electrical Methods in Geophysical Prospecting, Pergamon Press, New York, P.523.
- Koefoed, O., 1979. Geosounding Principles, 1, Resistivity Sounding Measurements. Elsevier Scientific Publishing Company, Amsterdam, Netherland, p.276.
- Mohi Ad-Din, R. M., Sissakian, V. K., Yousif, N. S., Amin, R. M. & Rofa, S. H., 1977. Report on the regional geological mapping of Mosul-Telafar area. Geosurv., Baghdad, Unpub.
- Numan, N. M. S., 1984. Basement controls of stratigraphic sequences and structural patterns in Iraq. J. Geol. Soc. Iraq, 16-17:8-24 .
- Van Overmeeren, R. A., 1989. Aquifer boundaries explored by geoelectrical measurements in the coastal plain of Yemen : A case of equivalence., Geophys., 54(1): 38-48 .